

张春燕, 周宝琴, 闻楠臻. 广东地区近 53 年雷暴活动特征分析 [J]. 陕西气象, 2016 (4): 27–31.

文章编号: 1006-4354 (2016) 04-0027-05

# 广东地区近 53 年雷暴活动特征分析

张春燕, 周宝琴, 闻楠臻  
(广州市气象局, 广州 510000)

**摘要:** 利用广东省 86 个常规观测站近 53 a (1960—2012 年) 雷暴逐日观测资料, 使用数理统计、气候倾向率、滑动平均、M-K 突变检验和 Morlet 小波分析等方法, 分析了广东地区雷暴变化的基本气候特征, 结果表明: 广东地区年平均雷暴日为 74.8 d, 属于多雷区; 近 53 a 广东省雷暴总体为减少趋势, 1984 年发生突变; 雷暴的发生有明显的季节和月变化特征, 雷暴日主要集中在 5—8 月, 与广东省的汛期及台风季节相吻合; 有 2 个多雷暴带, 分别为清远及珠江三角洲一带和湛江、茂名一带; 广东地区雷暴存在多尺度振荡, 主周期为 11 a 左右, 另外还存在 3~5 a、18 a 左右的变化周期。

**关键词:** 雷暴; 气候倾向率; M-K 突变检验; Morlet 小波分析

**中图分类号:** P429

**文献标识码:** A

雷暴因其电流大、电压高, 能量释放时间短, 危害性极大。随着高层建筑的增多和各种通讯设备的广泛应用, 雷灾损失越来越严重<sup>[1-4]</sup>。雷灾造成的损失仅次于暴雨洪涝和气象地质灾害。因此不少学者对各地雷暴活动的气候特征及成因进行了大量的研究。陈思蓉等<sup>[5]</sup>通过对我国雷暴的气候分布特征的研究, 指出雷暴发生频繁的区域共有 5 个, 分别是青藏高原东部、四川境内、云南中南部、新疆西部和华南两广地区; 通过对我国南方 62 个气象观测站雷暴日数资料分析, 徐桂玉等<sup>[6]</sup>指出我国南方雷暴近 30 年来变化的总体趋势是逐渐减少的。针对广东雷暴结构、特点, 也些研究成果<sup>[7-9]</sup>, 但研究区域范围较小, 或侧重点不同, 雷暴的气候特征分析方面研究虽多, 但针对广东地区的雷暴长序列气候变化趋势方面的研究较少, 本文利用广东省 86 个常规气象观测站 1960—2012 年 53 a 的雷暴逐日观测资料, 分析雷暴的时空分布特征和周期变化特征, 旨在全面了解广东地区雷暴的气候特征, 以期为雷暴潜势预报和雷电预测及防雷减灾提供

科学依据。

## 1 资料与方法

采用广东地区 86 个常规气象观测站 1960—2012 年 53 a 的逐日雷暴观测资料, 其中, 部分存有缺测资料的站点的处理方法是采用多年平均值, 并参考周围测站的雷暴分布情况进行插值。在资料统计时, 观测站 1 d 中闻雷一次以上就计 1 个雷暴日。

利用数理统计、气候倾向率、滑动平均、Mann-Kendall (M-K) 突变检验和 Morlet 小波分析 (Wavelet Analysis)<sup>[10]</sup> 等方法, 分析广东地区雷暴变化的时空分布特征、气候变化趋势和周期性规律。

## 2 雷暴的时间变化特征

### 2.1 年际变化

广东 53 a 来共出现 3 963 个雷暴日, 年平均雷暴日为 74.8 d, 属于多雷区。图 1 为广东地区雷暴线性变化趋势图。由图 1 可知, 广东雷暴日数年际变化较大, 雷暴出现最多的年份是 1975 年, 为 105.2 d; 出现最少的年份是 2003 年和

收稿日期: 2015-08-04

作者简介: 张春燕 (1983—), 女, 汉, 江苏淮安人, 硕士, 工程师, 从事雷电监测与防御工作。

基金项目: 广州市气象局科技项目 (201420); 广东省气象局科学技术研究项目 (2014B15)

2011年,为55.4 d。年雷暴日最多年是最少年的1.9倍。从图1还可看出,从20世纪60年代开始到1983年是雷暴多发时期,平均雷暴日达83.7 d,除了1966、1976、1980和1981年外,雷暴的年际变化都在多年平均线以上波动,在70年代中(1975年)达到最高峰,然后逐年下降,在80年代初回升,并于1983年升到波峰,然后又逐年下降,基本在多年平均值下波动,到2003年降到最低值,之后虽稍有回升但基本低于年平均值。总体上,广东雷暴日呈减少趋势,平均气候倾向率为 $-4.842 \text{ d}/10 \text{ a}$ (通过 $\alpha=0.01$ 水平的显著性校验),这与徐桂玉等<sup>[6]</sup>研究指出的我国南方雷暴近30年总体呈逐渐减少的变化趋势一致。此外,单站年雷暴日最多为138 d,于1975年出现在雷州站;单站年雷暴日最少为14 d,于1995年出现在汕头澄海站。

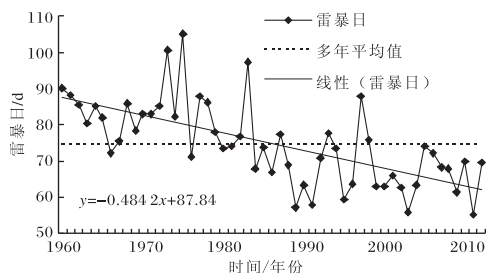


图1 1960—2012年广东雷暴年际变化图

为进一步了解该雷暴日的时间序列变化特

征,一是对该序列做标准化处理;二是做5年滑动平均处理。由图2可看出,雷暴日的标准化值(直方图),5年滑动平均值(曲线)有10年左右的年际变化特征。1960—2012年年雷暴日的均方差为11.4 d。若以雷暴日的标准化距平绝对值1作为标准,即对应雷暴日的距平百分率为15.2%来选取多、少雷暴年。广东多、少雷暴年选取结果列于表1。由表1可见,多雷暴年共有8 a,少雷暴年共有10 a,出现频率相当,但多雷暴年多出现在20世纪80年代中期以前,少雷暴年则刚好相反,全部出现在80年代中期之后。

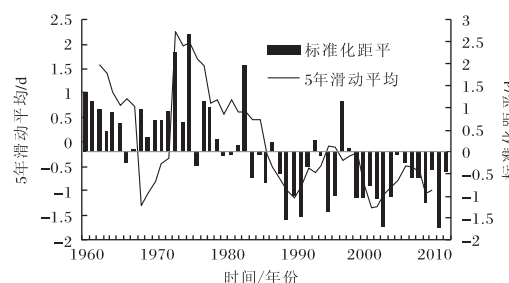


图2 1960—2012年广东雷暴序列的  
标准化距平及5年滑动平均

对广东地区年雷暴日进行了M-K突变检验(图3),从 $U_F$ 线值看出广东省近53 a间雷暴日呈减少趋势,与年际变化(图1)一致。根据 $U_F$ 和 $U_B$ 曲线相交位置来看,雷暴序列在1984年发生突变,说明广东年平均雷暴日在20世纪80年代中期开始明显减少。

表1 1960—2012年广东地区多、少雷暴年

多雷暴年	1960	1961	1973	1975	1977	1978	1983	1997		
少雷暴年	1989	1991	1995	1999	2000	2002	2003	2004	2009	2011

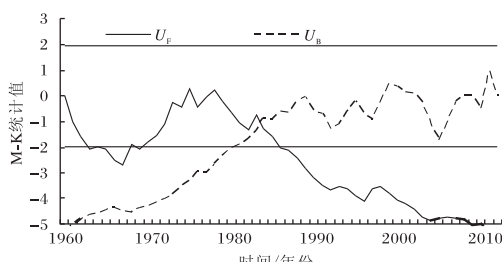


图3 1960—2012年广东年雷暴日数M-K检验结果  
(直线为 $\alpha=0.05$ 显著性水平临界值)

## 2.2 季节和月变化

根据华南地区的气候特征,用3—5月代表春季,6—8月代表夏季,9—11月代表秋季,12月到次年2月代表冬季。

广东地区雷暴具有明显的季节和月变化特征,其中,夏季雷暴日最多,平均为40.5 d,约占全年雷暴日的54.44%;其次为春季,平均为21.3 d,约占全年的28.63%;秋季为11.3 d,

约占全年的 15.19%; 冬季最少, 为 1.3 d, 约占 1.75%。

由广东累年各月平均雷暴日分布(图 4)可见, 一年 12 月中任何月份都有可能出现雷暴天气, 但雷暴主要集中出现在 5—8 月, 累计 51.31 d, 约占全年雷暴日的 70%。峰值出现在 8 月, 平均 14.4 d, 占全年的 19.6%; 其次是 6 月和 7 月, 分别为 13 d 和 13.2 d, 占全年的 17.7% 和 17.9%; 1 月、11 月和 12 月最少, 2 月次之。雷暴集中期与广东省的汛期及台风季节相吻合, 可见雷、雨、大风现象时常相伴发生。

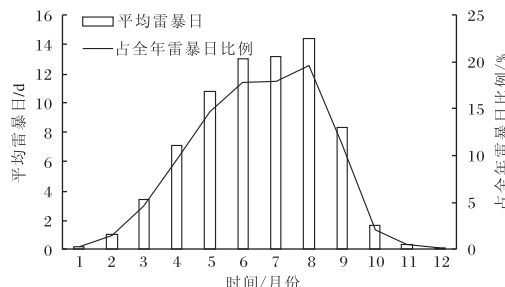


图 4 1960—2012 年广东月平均雷暴日变化

从图 4 中还可以看出, 雷暴日在 1—8 月逐月递增, 8 月达到峰值, 9—12 月逐月减少。其中, 4 月到 5 月增幅最大, 增加了 3.7 d; 10 月减幅最大, 比 9 月减少了 6.6 d。造成这种季节、

月变化的主要原因是: 3 月气温开始上升, 热力不稳定条件增强, 对流性天气增多从而使得雷暴天气增多; 前汛期(4—6 月), 受副高、高空槽、低压槽和锋面等天气系统的影响, 广东经历一个多雷雨时期; 后汛期(7—9 月), 广东经历另一个多雷雨时期, 这个阶段出现的雷雨主要是由热带天气系统如副高、热带辐合线、台风等造成。

### 3 雷暴空间分布特征

广东省处于中国大陆最南端, 地处低纬, 南临南海, 地形多样, 陆地、海洋、大气之间的作用强烈, 受天气系统的影响, 因强热力对流引起的雷电、暴雨频繁出现, 是我国雷暴多发区域之一。图 5 为 1960—2012 年广东年平均雷暴日空间分布图。由图 5 可见, 广东雷暴空间分布特征为北多南少、西多东少, 粤西和粤西北平均雷暴日最多, 粤中和粤北次之, 粤东和粤东北最少。雷暴日最多为粤西地区, 年平均雷暴日达 86.87 d; 其次为珠江三角洲地区, 年平均雷暴日为 76.26 d; 粤北地区为 73.19 d, 粤东地区为 55.3 d。主要有两个多雷暴带, 分别为清远及珠江三角洲一带和湛江、茂名一带。这一结论与易燕明等<sup>[11]</sup>利用闪电定位资料分析的闪电分布情况较为一致。

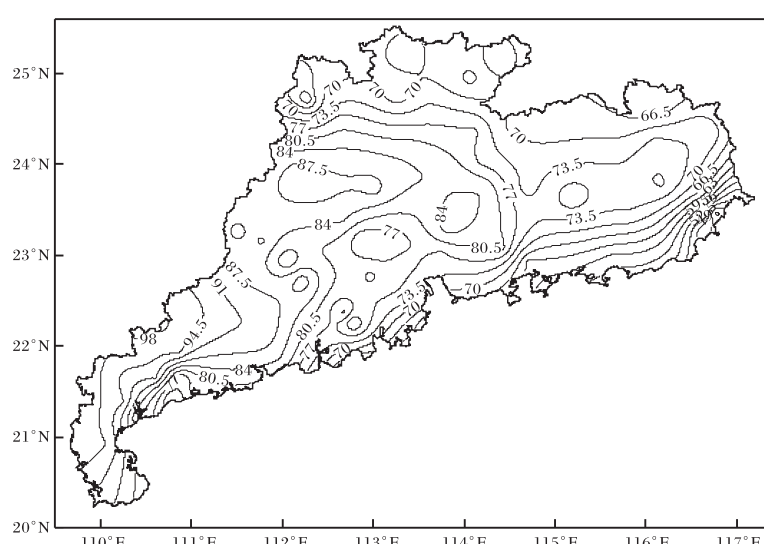


图 5 1960—2012 年广东年均雷暴日空间分布 (单位: d)

### 4 雷暴日周期分析

Morlet 小波变化实部表示了雷暴发生的时

间尺度特征, 可以了解到不同频率上的时间分布特征。通过分析广东省近 53 a 年雷暴日数的标

准化距平时间序列(图6),小波变化显示出雷暴日主要存在3~5 a、8~11 a及18 a左右的变化周期。首先,20世纪60年代到90年代末,雷暴序列在11 a时间尺度上正负闭合中心最为明显,表明广东在该时间段雷暴日的年际变化存在11 a左右周期震荡;从90年代末至今,8~

11 a的周期较为明显;70年代中后期雷暴日存在18 a左右周期变化,振荡模态的周期较稳定。其次,在整个时间段内,存在着3~5 a的小周期振荡。华南后汛期降水主周期为3 a,另一明显的周期在11 a附近<sup>[12]</sup>,与雷暴活动的周期相吻合。

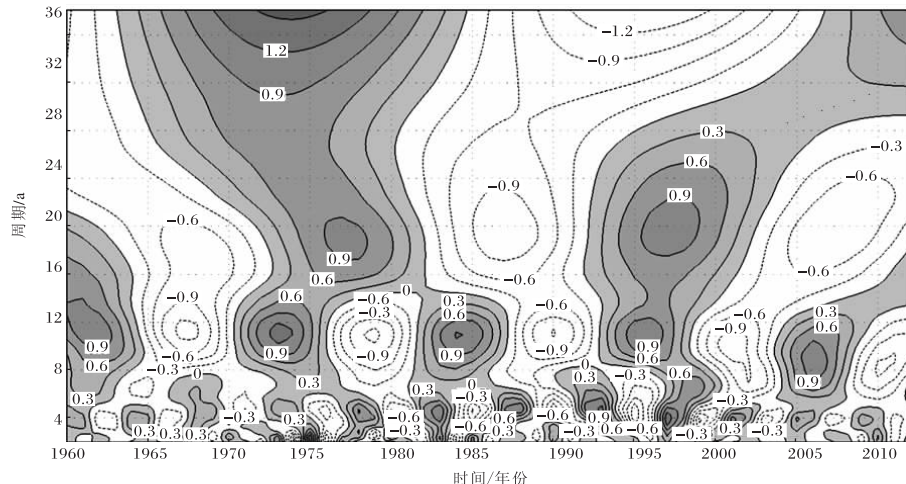


图6 1960—2012年广东省雷暴日标准化距平序列的小波系数实部部分

## 5 结论与讨论

(1) 广东53年来共出现3 963个雷暴日,年平均雷暴日为74.8 d,属于多雷区。雷暴日年际变化较大,总体上呈减少趋势,与华南后汛期降水的变化趋势比较相似。年平均雷暴日序列在1984年发生突变,雷暴日在20世纪80年代中期开始明显减少。

(2) 广东地区雷暴活动具有明显的季节和月变化特征,主要集中出现在春、夏两季,占全年的83.07%,5—8月为雷暴高发期,占全年的70%。

(3) 广东省有两个多雷暴带,分别为清远及珠江三角洲一带和湛江、茂名一带。

(4) 从小波分析结果看,广东雷暴存在多尺度振荡,主周期为11 a左右,另外还有3~5 a、18 a左右的变化周期。

(5) 虽然本文分析得出广东地区雷暴有减少的趋势,但雷电活动造成的灾害还与雷电的频数、雷电流强度以及国民经济的发达程度、城市化进程、防灾减灾措施等诸多因素有关。因此,防雷减灾工作仍然任重而道远。

## 参 考 文 献:

- [1] 马明,吕伟涛,张义军,等.1997—2006年我国雷电灾情特征[J].应用气象学报,2008,19(4): 393—400.
- [2] 易燕明,杨兆礼,万齐林.雷电灾害对珠江三角洲区域经济发展的影响[J].资源科学,2005,27(1): 64—68.
- [3] 张春燕,黄延刚,陈易昕.2008—2012年广东省雷电灾情特征的分析[J].广东气象,2015,37(3): 63—65.
- [4] 王洁,宁凡,杜艳,等.陕西省雷电灾害特征分析[J].陕西气象,2013(3): 20—22.
- [5] 陈思蓉,朱伟军,周兵.中国雷暴气候分布特征及变化趋势[J].大气科学学报,2009,32(5): 703—710.
- [6] 徐桂玉,杨修群.我国南方雷暴的气候特征研究[J].气象科学,2001,21(3): 299—307.
- [7] 毛慧琴,宋丽莉,刘爱君,等.广东省雷暴天气气候特征分析[J].广东气象,2005,27(2): 7—9.
- [8] 杨伟民,宋艳华,段吟红,等.1961—2008年广

金丽娜, 翟园, 曲静. 西安市各区县气温预测统计方法对比分析 [J]. 陕西气象, 2016 (4): 31–35.

文章编号: 1006-4354 (2016) 04-0031-05

# 西安市各区县气温预测统计方法对比分析

金丽娜, 翟园, 曲静  
(西安市气象局, 西安 710016)

**摘要:** 利用西安市 7 个国家一般气象站 1971—2000 年的逐月平均气温, 依次选用最优气候值法、多元线性回归预测法、自回归移动平均法 (ARIMA) 和灰色系统理论法进行回报检验, 模拟出 7 个站点 2001—2013 年的月、季、年平均气温, 再对其进行 PS 评分和异常级分析, 结果显示: 季、年平均气温预测以最优气候值法、灰色系统理论法较为适用, 月平均气温预测中各种方法在时空序列上各有优劣, 多元线性回归预测法应适当避免使用; 从时间尺度来看, 春、夏、秋和年平均气温预测以最优气候值法最优, 冬季平均气温预测以自回归移动平均法最优, 月平均气温预测 3—8 月以最优气候值法最优, 1—2 月、9—12 月以自回归移动平均法最优; 从空间尺度来看, 靠近山区及平原区 (周至、户县、市区、高陵) 月、季、年平均气温预测以灰色系统法最优, 山区与平原区过度区域 (临潼、蓝田、长安) 月、季、年平均气温预测以最优气候值法最优。

**关键词:** 西安区县; 气温预测; PS 评分; 异常级

**中图分类号:** P457.3

**文献标识码:** A

在众多气象要素场中, 统计学方法较多的应用在气温预测上<sup>[1]</sup>, 国内许多地市开展了适用于本地的气温预测研究。如陈杰<sup>[2]</sup>利用最优气候均态模型, 以集宁月平均气温历史资料为依据进行预测检验, 预测准确率较高; 叶晓波<sup>[3]</sup>运用时间序列 ARIMA 模型的建模方法对云南省楚雄市年平均气温进行了分析研究; 唐湘玲<sup>[4]</sup>根据灰色系统理论, 用 GM (1, 1) 方法对阿克苏地区 10 个气象站进行建模和预测; 汪春辉<sup>[5]</sup>采用偏最小二乘回归建立模型, 并进行了改进, 预测能力较

好; 王永弟<sup>[6]</sup>将模糊时间序列模型引入短期气候预测, 并与多种模型进行了精度比较和分析, 结果表明各项精度评定指标优良, 具有一定的实用价值。为了提高西安市各区县气温预测准确率, 本研究选取四种较常见的统计学预测方法, 利用历史资料建立模型, 分析研究适用于各区县的月、季、年预测方法, 以期更好的服务于各区县短期气候预测。

## 1 资料

选用的资料为西安 7 个国家一般气象站 (西

收稿日期: 2015-09-08

作者简介: 金丽娜 (1981—), 女, 汉族, 陕西西安人, 工程师, 硕士, 主要从事气候变化研究。

基金项目: 陕西省气象局预报员专项 (2015Y-19)

- 东省雷暴时空变化与气候变暖的关系 [J]. 广东气象, 2013, 35 (4): 25–28.  
[9] 易燕明, 杨兆礼, 万齐林, 等. 近 50 年广东省雷暴、闪电时空变化特征的研究 [J]. 热带气象学报, 2006, 22 (6): 539–546.  
[10] 魏凤英. 现代气候统计诊断与预测技术 [M].

- 北京: 气象出版社, 2007.  
[11] 易燕明, 杨兆礼, 万齐林. 广州市闪电密度特征分析 [J]. 资源科学, 2006, 28 (1): 151–156.  
[12] 余功梅. 华南地区近 40 年降水的气候特征 [J]. 热带气象学报, 1996, 12 (3): 252–256.